

## Литература

- [1] С. А. Казанцев, А. Кислинг, М. П. Чайка. Опт. и спектр., 36, 1030, 1974.
- [2] С. А. Казанцев, А. Г. Рысь, М. П. Чайка. Опт. и спектр., 44, 425, 1978.
- [3] C. G. Carrington. J. Phys., B, 5, 1572, 1972.
- [4] X. Husson, J. Margerrie. Opt. Commun., 5, 139, 1972.
- [5] J.-P. Lemoigne, X. Husson, J. Margerrie. Opt. Commun., 15, 241, 1975.
- [6] С. А. Казанцев. Вестн. ЛГУ, сер. физ.-хим., 1979.
- [7] С. А. Казанцев, В. П. Марков, М. П. Чайка. Аннот. докл. IV Всес. конф. по физике низкотемпературной плазмы, ч. 2, 23, Киев, 1975.
- [8] M. Chenivier, R. A. Moskowitz. J. de Phys., 35, 401, 1974.
- [9] C. C. Davies, T. A. King. Phys. Lett., 39A, 186, 1972.
- [10] С. А. Казанцев, А. Г. Рысь. Опт. и спектр., 43, 575, 1977.
- [11] С. А. Казанцев, В. П. Марков, С. Л. Морозова, М. П. Чайка. Опт. и спектр., 46, в. 6, 1979.

Поступило в Редакцию 23 декабря 1978 г.

УДК 535.417

## ИНТЕРФЕРЕНЦИОННЫЕ ПОЛЯРИЗАТОРЫ С БОЛЬШОЙ ВХОДНОЙ АПЕРТУРОЙ

Н. Н. Ильичев и Д. И. Сергиенко

В работе [1] были предложены способы расчета многослойных интерференционных поляризаторов на плоскопараллельных подложках. Там же были приведены характеристики интерференционных поляризаторов, изготовленных на основе проведенных расчетов. Однако входная апертура поляризаторов была  $\varnothing 20$  мм. Кроме того, на рабочей длине волны 1060 нм коэффициент отражения  $R_{\parallel}$  для волны ТМ-типа оказался большим ( $R_{\parallel} \approx 5\%$ ), что было связано с невозможностью достаточно точного контроля оптической толщины слоев на этой длине волны. В настоящей работе приведены характеристики интерференционных поляризаторов, полученных испарением в вакууме, когда толщина слоев контролировалась методом кварцевого резонатора. Были изготовлены интерференционные поляризаторы со входной апертурой до 20 и 100 мм. Материал подложек — стекло K8. Для поляризаторов со входной апертурой до 20 мм использовались подложки  $\varnothing 60$  мм и толщиной 10 мм, для поляризаторов с апертурой до 100 мм использовались подложки размером  $190 \times 100 \times 20$  мм<sup>3</sup>. Слои из ZnS и криолита для длины волны  $\lambda_0 = 0.93 \lambda$ , где  $\lambda$  — рабочая длина волны, имели оптические толщины  $\lambda_0/4$  [1]. Число слоев — 12. Расчетный угол падения излучения на поляризатор  $56.5^\circ$  [1].

Поляризаторы со входной апертурой до 20 мм были изготовлены для длин волн 1060 и 633 нм. На рис. 1 приведена зависимость  $R_{\parallel}$  от угла падения  $\theta$  на поляризатор. Рабочая длина волны  $\lambda = 1060$  нм. Видно, что  $R_{\parallel}$  достигает своего минимального значения  $\approx 0.5\%$  при  $\theta = 58.5^\circ$ . Отличие полученного значения  $\theta$ , при котором  $R_{\parallel}$  минимально, от расчетного связано с тем, что на практике не удается получить слои  $\lambda_0/4$  на нужной длине волны  $\lambda_0$ . Для этого же поляризатора при  $\theta = 58.5^\circ$   $R_{\perp} = 98\%$ , где  $R_{\perp}$  — коэффициент отражения для волны TE-типа. Для длины волны 633 нм характерные значения  $R_{\parallel}$  и  $R_{\perp}$  получились такими же, что и для длины волны 1060 нм, а угол  $\theta$ , при котором  $R_{\parallel}$  достигает минимума, лежит вблизи расчетного.

Поляризаторы со входной апертурой до 100 мм изготавливались на длину волны 1060 нм. На рис. 2 приведены зависимости  $R_{\parallel}$  и  $R_{\perp}$  от координаты  $X$  на входной апертуре поляризатора, проходящей в 20 мм от центра поляризатора. Угол падения на поляризатор  $\theta = 53^\circ$ . При этом значении угла падения на поляризатор  $R_{\parallel}$  достигало своего минимума в центре входной апертуры поляризатора. Диаметр луча Nd-лазера, с помощью которого измерялись коэффициенты отражения  $R_{\parallel}$  и  $R_{\perp}$ , был равен 3 мм на по-

ляризаторе. Из рис. 2 видно, что  $R_{\perp}$ ,  $R_{\parallel}$  зависят от координаты  $X$ , что связано с неравномерностью толщин слоев вдоль плоскости подложки. При изменении  $X$  от 30 до 80 мм  $R_{\parallel}$  остается в пределах от 1.4 до 2.3%.

Были изготовлены также интерференционные поляризаторы, в которых в качестве материалов слоев использовались  $TiO_2$  и  $SiO_2$ . Эти вещества наносились на подложки из стекла К8 Ø 60 мм и толщиной 10 мм химическим методом из растворов. Число

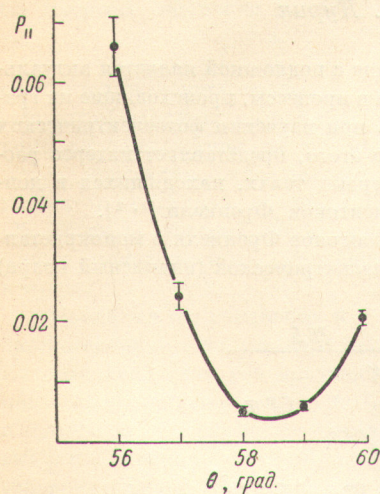


Рис. 1. Зависимость  $R_{\parallel}$  от угла падения  $\theta$  ( $\lambda=1060$  нм, диаметр подложки 60 мм, толщина 10 мм).

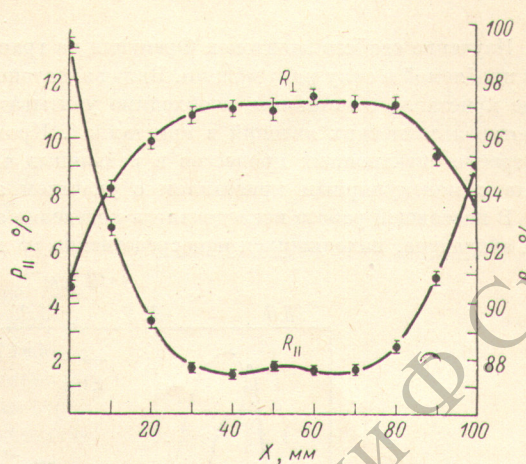


Рис. 2. Зависимость  $R_{\parallel}$  и  $R_{\perp}$  от координаты  $X$  на входной апертуре интерференционного поляризатора.

слоев — 12. Для длины волны  $\lambda_0=0.925 \lambda$ , где  $\lambda$  — рабочая длина волны, оптические толщины всех слоев равны  $\lambda_0/4$  [1]. Поляризаторы изготавливались для длины волны 633 нм. Получились значения коэффициентов отражения  $R_{\parallel}=2.5\%$ ,  $R_{\perp}=90\%$  при угле падения на поляризатор  $\theta=57^{\circ}$ . Похожие (по углу падения и по  $R_{\parallel}$  и  $R_{\perp}$ ) характеристики имеют интерференционные поляризаторы [2], изготовленные также химическим методом, но с большим (15) числом слоев.

Таким образом, в работе показана возможность изготовления интерференционных поляризаторов, обладающих низкими потерями, малой и большой апертурами, когда контроль толщины слоев велся методом кварцевого резонатора. Применение этого метода дает возможность делать интерференционные поляризаторы в широком спектральном диапазоне.

В заключение авторы благодарят О. А. Шелудько, оператора вакуумной установки, за помощь в изготовлении интерференционных поляризаторов методом испарения в вакууме, Г. Г. Зубкову за помощь в изготовлении поляризаторов химическим методом.

#### Литература

- [1] Н. Н. Ильин. Опт. и спектр., 46, в. 3, 1979.
- [2] Р. С. Соколова, В. А. Серебряков, Н. А. Разумовская, В. Е. Яшин. Оптико-механич. промышл., № 9, 66, 1977.

Поступило в Редакцию 13 июля 1978 г.